

## 繰返し荷重を受ける飽和砂の流動化について

神戸大学工学部 正員 谷本喜一  
 神戸大学工学部 正員 西勝  
 神戸大学大学院 学員 山道義幸  
 神戸大学大学院 学生員 値村隆晴

### 1. まえがき

飽和砂が振動または衝撃を受けた場合、過剰間げき水圧を発生し、有効応力が減少する流動化現象についての研究は、近年盛んに行われている。この流動化に関する実験法としては、砂層に直接水平振動を加える場合と、三軸圧縮試料に上下方向の繰返し荷重を与える場合とが考えられる。本研究は後者の場合、すなむち、繰返し三軸試験装置によつて誘起される飽和砂の流動化現象を、過剰間げき水圧および軸ひずみの連続的測定記録に基づいて究明しようとしたものである。

### 2. 実験装置および試料

この実験に使用した繰返し三軸試験装置は前回に示したので省略するが、供試体に作用する側圧は水銀による恒圧装置を用い、液圧によって常に一定の大きさとした。過剰間げき水圧、軸荷重、および、軸ひずみは図-1に示す装置によつて測定された。

試料は  $0.1\text{mm}$  あるいは  $2\text{mm}$  あるいは通過の川砂 ( $G=2.64$ ,  $C_u=1.64$ ,  $e_{max}=0.85$ ,  $e_{min}=0.55$ ) で、供試体寸法は直径  $5\text{cm}$ , 高さ  $12\text{cm}$  とした。なお上記載荷装置から得られる荷重軌跡は片振幅型の矩形で、繰返し載荷周期は  $2\text{cps}$ 、載荷時間は  $0.25$  秒である。実験は表-1に示す状態で行い、以下に述べる実験結果はすべて除荷時にあける測定値から整理したものである。

### 3. 実験結果および考察

一般に流動化とは、過剰間げき水圧が有効応力（本実験では側圧）に等しくなり、有効応力が0となることと定義される。しかしながら、本実験では供試体が完全に破壊していると考えられるにもかかわらず、供試体内に生じる過剰間げき水圧が側圧に一致しない場合も生じたので、便宜的に図-2に示すような過剰間げき水圧および軸ひずみの両測定値に基づいて、流動化現象をつきのよ

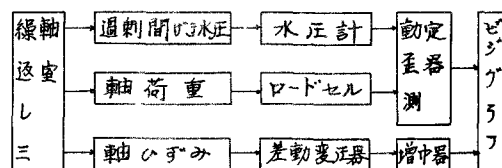


図-1

初期間げき比( $e_0$ )	0.73	0.80
相対密度 ( $D_a$ )	40	16.7 (%)
側圧 ( $\sigma_3$ )	0.50, 0.75, 1.0 ( $\text{kN/cm}^2$ )	
軸差応力 ( $\sigma_d$ )	0.30 ~ 1.4 ( $\text{kN/cm}^2$ )	

表-1

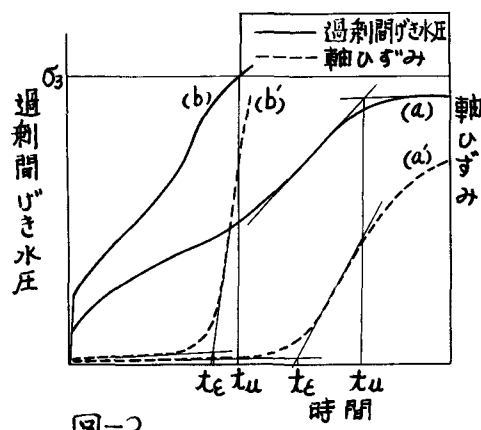


図-2

うに定義することにした。

### 1) 過剰間げき水圧に基づく流動化の定義

測定記録が図-2 の(a)曲線のような場合には両接線の交点を、(b)曲線のような場合には側圧 $\sigma_3$ に一致した点を、それぞれ流動化が生じた状態とみなす。それまでに要する時間をおとで示すこととした。前者は、 $e_i=0.73$  および  $e_i=0.80$  で  $\sigma_3=0.50 \text{ kg/cm}^2$  のときに生じ、その他の場合はすべて(b)曲線のように過剰間げき水圧が側圧に等しくなる点が生じた。

### 2) 軸ひずみに基づく流動化の定義

図-2 の(a)および(b)曲線は、先述した(a)および(b)曲線にそれぞれ対応する軸ひずみの測定記録を示したものである。この場合には、すべて記録曲線が急変する点(両接線の交点)を流動化が生じた状態とみなすし、それまでに要する時間を $t_u$ で示すことにした。この定義の理由としては、この点以後では、軸ひずみが急激に増大し、一般の構造物では、ほとんど許容されない沈下がただちに生じるものと考えられるからである。

過剰間げき水圧に基づく $t_u$ と  $\sigma_3/\sigma_0$  との関係を示すと図-3 のようになる。この図より  $\sigma_3, e_i, c_i$  によって、流動化現象が大きく影響されることが認められる。すなわち、 $\sigma_3$  および  $e_i$  が大なるほど流動化は生じやすく、また、 $\sigma_3/\sigma_0$  によらず  $\sigma_3$  が小さいほど流動化があざりやすいことが確認される。このことは、砂層の流動化現象が側圧の小さい表面近くで発生し、次第に下層へ伝わっていくであろうことを裏付けているように思われる。

図は省略するが、 $t_u$  に関する同様の結果が得られた。ただし、この $t_u$  の値は  $\sigma_3$  の値よりも常に小さく、その差は  $c_i$  が小さくなるほど大きくなる傾向が認められた。

つぎに、 $t_u$  後の軸ひずみの時間的変化を図-4 に示す。この図から、 $e_i=0.80$  では、ひずみは急速に増加し破壊にいたるが、 $e_i=0.73$  では、徐々に増加し破壊にいたることがわかる。換言すれば、後者のひずみ記録曲線の勾配は、 $\sigma_3/\sigma_0$  によらず ひずみが大きくなるほど小さくなっていることを示している。これは  $e_i=0.73$  では、ひずみの有効応力を残留した状態で破壊にいたる、すなわち、ある程度粒子が接触しあいながら塑性ひずみが増加していくためであると考えられる。

参考文献 リ谷本、西谷口、"繰返し荷重を受ける粘性路床土の 2, 3 の動的性質について" 土木学会関西支部講演集(昭和42年度)

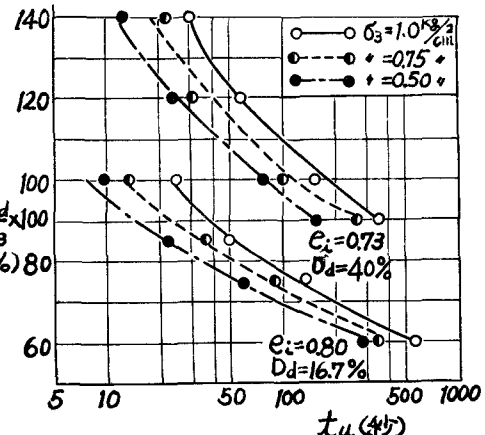


図-3

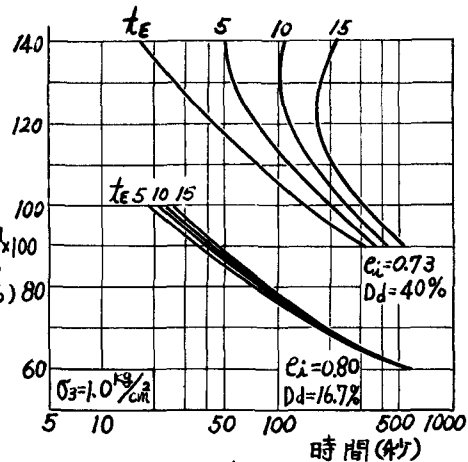


図-4(図中の数字は軸ひずみパーセント)